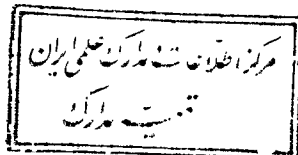
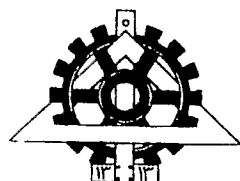


بە نام

یەتاوە فەستەر بەخان

۱۴۷۸



دانشگاه تهران



عنوان:

بررسی آب شستگی در مجاورت پایه های مستطیل شکل پلها

توسط: مجید ملا محسنی الماسی

استاد راهنمای: دکتر رضا غیاثی

پایان نامه جهت دریافت درجه کارشناسی ارشد

در

رشته سازه های دریائی

دانشکده فنی

۰۶۰/۵

شهریور سال ۱۳۷۸

تقدیم به

پدر و مادر

و

خانواده عزیزم

با تقدیر و سپاس فراوان از زحمات استاد ارجمند

جناب آقای دکتر رضا غیاثی

و با تشکر از نظرات ارزشمند استادان گرامی

جناب آقای دکتر محرم دولتشاهی و جناب آقای دکتر رحمان دادمان

و همچنین با تشکر از آقایان صورت، محمد احمدی، علی‌الماضی

و خانم اجلالی

که بالطف و عنایت همگی این عزیزان موجبات تهیه این

پایان نامه فراهم آمده است.

چکیده

یکی از عمدۀ ترین مشکلات سازه‌های نظیر پلها که پایه‌های آنها داخل آب رودخانه‌های قابل فرسایش قرار می‌گیرند آبستگی ایجاد شده در اطراف پایه‌ها می‌باشد. در یک تقسیم بندی کلی، فرسایش اتفاق افتاده از دو نوع آب استگی عمومی و موضعی تشکیل شده که آب استگی موضعی در ارتباط مستقیم با شکل و نحوه قرارگیری پایه در بستر رودخانه است. تا به حال در رابطه با تعیین عمق فرسایش موضعی در مجاورت پایه پلها روش‌های مختلفی ارائه شده است که در میان این روشها، روش Melville & Sutherland بعنوان یکی از روش‌هایی که پارامترها و فاکتورهای مختلف را در نظر گرفته، جایگاه خاصی دارد. این روش که در حقیقت بر اساس منحنی‌های پوش داده شده روی نتایج آزمایشگاهی مربوط به پایه‌های استوانه‌ای، حاصل شده، با در نظر گرفتن آستانه حرکت رسوبات و تعیین سرعت برشی ایجاد شده (از روی اندازه ذرات رسوب، دانه بندی رسوب، سرعت و عمق جریان) و همچنین در نظر گرفتن اثر شکل و نحوه قرارگیری پایه در آب در ارتباط با زاویه دار بودن یا نبودن جهت جریان نسبت به پایه، عمق آبستگی موضعی را محاسبه و مشخص می‌نماید.

به منظور بررسی این موضوع، آزمایشات مختلفی بر روی پایه‌های مستطیلی صورت گرفته و نتایج حاصله با نتایج بدست آمده از فرمول، مقایسه شده است که معمولاً نتایج آزمایشگاهی رضایت بخش بوده و انتظام نسبتاً خوبی با نتایج بدست آمده از فرمول دارند. همچنین با تلفیق مبانی نظری، مکانیسم آب استگی پایه‌های دایره‌ای و مشاهدات انجام یافته، مکانیسم آب استگی پایه‌های مستطیل شکل ارائه شده است و در هر مرحله نتایج کار با مبانی نظری و تحقیقات سایرین مقایسه گردیده است. به این جهت نتایج آزمایشها با توجه به دقیقی که در آن صورت گرفته، قابل اطمینان می‌باشند. در ادامه نیز نمودارهایی جهت محاسبه k_s و k_α (ضرایبی که در فرمول Melville & Sutherland به کار رفته‌اند) ارائه گردیده است.

فهرست مطالب

صفحه

عنوان

IV	علام اختصاری
VI	فهرست اشکال و جداول

فصل اول - مقدمه

۲	۱-۱- کلیات
۳	۱-۲- انواع آبشتگی
۴	۱-۲-۱- انواع آبشتگی از نظر علت به وجود آمدن
۴	۱-۲-۲- انواع آبشتگی از نظر وضعیت حمل مواد بستر
۵	۱-۳- روشاهای بررسی آبشتگی
۷	۱-۴- معرفی پایان نامه

فصل دوم - انواع فرسایش و عوامل آن

۹	۲-۱- مقدمه
۹	۲-۲- انواع آبشتگی
۹	۲-۲-۱- آبشتگی عمومی
۱۰	۲-۲-۲- آبشتگی موضعی
۱۲	۲-۳-۱- آبشتگی ناشی از تنگ شدن عرض جریان
۱۴	۲-۳-۲- آبشتگی از نظر وضعیت حمل مواد بستر
۱۵	۲-۴- آبشتگی ماکریم یا نهائی
۱۶	۲-۵- نتیجه گیری

فصل سوم - آبشتگی و روابط مربوط به آن

۱۹	۱-۳- مقدمه
۱۹	۲-۳- عوامل مؤثر بر آبشنستگی پایه پلها
۲۱	۳-۳- روشاهای پیشنهادی جهت جلوگیری از آبشنستگی
۲۴	۴-۳- طراحی بر اساس تخمین خط آبشنستگی
۲۴	۵-۳- ترمیم پایه پلها که در معرض آبشنستگی قرار دارند.
۲۴	۵-۱- بهسازی
۲۵	۵-۲- جایگزینی مصالح
۲۷	۵-۳- ایجاد تغییر در سازه پلها
۲۸	۵-۴- جایگزینی سازه
۲۸	۶-۳- معادلات تعیین عمق آبشنستگی موضعی پایه پلها
۳۲	۶-۳-۱- معادلات مربوطه با در نظر گرفتن اثر نحوه قرار گیری پایه نسبت به جهت جریان آب
۳۴	۶-۳-۲- تعیین عمق آبشنستگی موضعی در شرایط آب زلال
۳۵	۶-۳-۳- تعیین عمق آبشنستگی موضعی در شرایط بستر متحرک
۳۶ Melville and Sutherland	۶-۴- تعیین عمق فرسایش موضعی به روش
۳۷	۶-۴-۱- شرایط آستانه حرکت رسوبات
۴۰	۶-۴-۲- آنالیز آبشنستگی موضعی
۴۶	۶-۴-۳- نتیجه گیری

فصل چهارم - مشخصات مدل آزمایشگاهی

۰۱	۱-۴- مقدمه
۰۲	۴-۴- مشخصات فلوم هیدرولیکی مورد آزمایش
۰۴	۴-۴-۳- رسوب مورد آزمایش
۰۶	۴-۴-۴- مشخصات مدلهای مورد آزمایش

۵۶	۴-۵- روش‌های اندازه گیری
۵۷	۴-۶- نتیجه گیری

فصل پنجم - نتایج آزمایشات

۵۹	۱-۵- مقدمه
۵۹	۲-۵- مقایسه نتایج بدست آمده از آزمایشات با نتایج حاصله از فرمول
۶۰	۳-۵- حل یک مسئله نمونه
۶۵	۴-۵- محاسبه k_s و k_α برای پایه های مستطیل شکل
۷۴	۵-۵- نحوه شکل گیری گودال آبکند اطراف پایه ها
۷۸	۶-۵- نتیجه گیری

فصل ششم - نتیجه گیری و پیشنهادات

۸۰	۱-۶- جمع بندی
۸۲	۲-۶- نتیجه گیری
۸۴	۳-۶- پیشنهادات

پیوست ۱ - کانتورهای آب شستگی همراه با اشکال سه بعدی مربوطه ۸۰

پیوست ۲ - نتایج کامپیوتری مربوط به مدلهای آزمایش شده ۱۱۹

۱۳۰ مراجع

علام اختصاری :

Al : اثر نحوه قرار گیری پایه در مقدار عمق آب شستگی

b,D : عرض پایه (قطر پایه برای پایه های استوانه ای شکل) در جهت عمود بر جریان

b'_e, b' : عرض مؤثر و تصویر شده پایه در جهت عمود بر جریان آب

d_s : عمق آب شستگی موضعی تعیین شده در مجاورت پایه پل

d_{\max} : ماکزیمم اندازه (قطر) ذره یک رسوب غیر یکنواخت

$d_{s\max}$: ماکزیمم عمق آبشنستگی موضعی که ممکن است در مجاورت پایه پل اتفاق بیافتد.

d'_s : عمق آبشنستگی تحت بالا ترین ارتفاع تراز آب ناشی از طغیان رودخانه

d_{50}, d : قطر متوسط ذرات بستر

d_{84} : قطر معادل ذره ای که درصد ذرات از آن کوچکتر باشند.

d_{50a} : قطر متوسط ذرات برای ضخیمترین لایه پوششی بستر

F_r : عدد فرود

shields : تابع F_s

g : شتاب ثقل

K_d : ضریب اندازه رسوب

K_I : ضریب شدت جریان

K_s : ضریب شکل پایه

K_y : ضریب عمق جریان

K_α : ضریب نحوه قرار گیری پایه در آب

K_η : ضریب مربوط به شرایط و وضعیت بستر

K_σ : ضریب دانه بندی رسوب

L : طول پایه

Q : ماکزیمم دبی سیلا بی

q : دبی برای واحد عرض جریان

R_θ : عدد رینولدز

t: شاعع جریان گردابی

S̄: پارامتر معرف عمق آب شستگی موضعی

sh: اثر شکل پایه در مقدار آب شستگی

S_d : نسبت دانسیته ذرات رسوب به دانسیته آب

u: سرعت متوسط جریان در بالا دست پایه

U: سرعت جریان گردابی ایجاد شده

U_a : سرعت متوسط جریان در بالا دست پایه و در هنگام وجود ضخیمترین لایه

رسوب پوششی در بستر

U_c : سرعت بحرانی برای آغاز حرکت ذرات بستر

U'_c : سرعت اولیه آب شستگی موضعی در مجاورت پایه

U_{ca} : سرعت بحرانی برای آغاز حرکت ضخیمترین لایه رسوب پوششی در بستر

U_* : سرعت برشی

U_* : سرعت برشی بحرانی

U_{*ca} : سرعت برشی بحرانی برای ضخیمترین لایه رسوب پوششی در بستر

y, u: عمق متوسط جریان در بالا دست پل

α : زاویه برخورد آب با پایه

γ : وزن مخصوص آب

η: پارا متر وابسته به بار بستر

μ : ویسکاسیتی دینامیکی

ν : ویسکاسیتی سینماتیکی

ρ : دانسیته سیال (آب)

ρ_s : دانسیته ذرات رسوب

σ_{g} : انحراف معیار هندسی مربوط به توزیع ذرات

.۲: تنش برشی واردہ بر کف رودخانه

فهرست اشکال و جداول

صفحه

عنوان

شکل ۱-۲- مکانیسم بوجود آمدن جریانهای چرخشی در مجاورت پایه	۱۱
شکل ۲-۲- آب شستگی به دلیل تنگ شدگی مقطع جریان	۱۳
شکل ۳-۲- میزان آبشنستگی در ازای زمان	۱۴
شکل ۴-۲- میزان آبشنستگی در ازای سرعت برشی	۱۴
شکل ۵-۲- آبشنستگی ماکریم در اثر آبشنستگی های موضعی و کلی در مجاورت پایه پل	۱۶

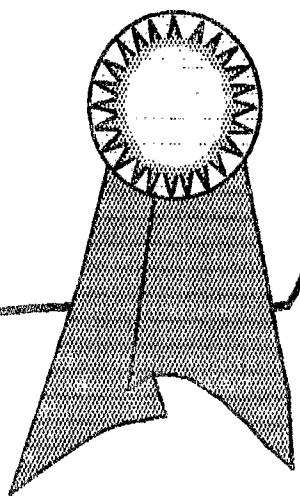
جدول ۱-۳- ضریب برای طراحی سنگ چین	۲۲
شکل ۱-۳- اثرزاویه دار بودن امتداد جریان با پایه	۳۳
شکل ۲-۳- منحنی Shields	۳۸
شکل ۳-۳- نمودار Shields برای شرایط آستانه حرکت رسوبات یکنواخت در آب ...	۳۸
شکل ۳-۴- اثر شدت جریان بر عمق آبشنستگی	۴۲
شکل ۳-۵- اثر عمق جریان در میزان آبشنستگی	۴۳
شکل ۳-۶- اثر اندازه رسوب در میزان عمق آبشنستگی	۴۴
جدول ۲-۳- ضرایب شکل پایه ها	۴۵
شکل ۳-۷- ضریب اثرزاویه دار بودن برخورد آب با پایه بر عمق آبشنستگی موضعی ...	۴۵

جدول ۳-۳- ارزیابی معادلات مربوط به تعیین عمق فرسایش موضعی در مجاورت پایه پلها با توجه به پارامترهای مؤثر در میزان عمق آبشنستگی ۴۷
شکل ۳-۸- نمودار مقایسه نتایج اندازه گیری شده و محاسبه شده توسط Melville and Sutherland در رسوبات یکنواخت ۴۸
شکل ۳-۹- نمودار مقایسه نتایج اندازه گیری شده و محاسبه شده توسط Melville and Sutherland در رسوبات غیر یکنواخت ۴۸
شکل ۴-۱- نمایش شماتیک از فلوم هیدرولیکی مورد آزمایش ۵۳
شکل ۴-۲- منحنی دانه بندی رسوب ۰۰
جدول ۵-۱- نتایج حاصله از آزمایشات و فرمولها ۶۰
شکل ۵-۱- نتایج خروجی بدست آمده از برنامه کامپیوتری برای مثال در نظر گرفته شده در قسمت (۳-۵) ۶۳
شکل ۵-۱۸- نمودار K_s ۷۰
شکل ۵-۱۹- نمودار K_α برای زاویه ۱۵ درجه ۷۱
شکل ۵-۲۰- نمودار K_α برای زاویه ۳۰ درجه ۷۲
شکل ۵-۲۱- نمودار K_α برای زاویه ۴۵ درجه ۷۳
شکل ۵-۲- نتایج خروجی مربوط به داده شماره ۱ از جدول (۱-۵) ۱۱۹
شکل ۵-۳- نتایج خروجی مربوط به داده شماره ۲ از جدول (۱-۵) ۱۲۰
شکل ۵-۴- نتایج خروجی مربوط به داده شماره ۳ از جدول (۱-۵) ۱۲۱
شکل ۵-۵- نتایج خروجی مربوط به داده شماره ۴ از جدول (۱-۵) ۱۲۲
شکل ۵-۶- نتایج خروجی مربوط به داده شماره ۵ از جدول (۱-۵) ۱۲۳

شکل ۷-۵ - نتایج خروجی مربوط به داده شماره ۶ از جدول (۱-۵)	۱۲۴
شکل ۸-۵ - نتایج خروجی مربوط به داده شماره ۷ از جدول (۱-۵)	۱۲۵
شکل ۹-۵ - نتایج خروجی مربوط به داده شماره ۸ از جدول (۱-۵)	۱۲۶
شکل ۱۰-۵ - نتایج خروجی مربوط به داده شماره ۹ از جدول (۱-۵)	۱۲۷
شکل ۱۱-۵ - نتایج خروجی مربوط به داده شماره ۱۰ از جدول (۱-۵)	۱۲۸
شکل ۱۲-۵ - نتایج خروجی مربوط به داده شماره ۱۱ از جدول (۱-۵)	۱۲۹
شکل ۱۳-۵ - نتایج خروجی مربوط به داده شماره ۱۲ از جدول (۱-۵)	۱۳۰
شکل ۱۴-۵ - نتایج خروجی مربوط به داده شماره ۱۳ از جدول (۱-۵)	۱۳۱
شکل ۱۵-۵ - نتایج خروجی مربوط به داده شماره ۱۴ از جدول (۱-۵)	۱۳۲
شکل ۱۶-۵ - نتایج خروجی مربوط به داده شماره ۱۵ از جدول (۱-۵)	۱۳۳
شکل ۱۷-۵ - نتایج خروجی مربوط به داده شماره ۱۶ از جدول (۱-۵)	۱۳۴

فصل اول

مقدمة



۱-۱- کلیات

یکی از عمدۀ ترین مشکلات سازه هایی نظیر پلها که پایه های آنها داخل آب رودخانه های قابل فرسایش قرار می گیرند آبشنستگی ایجاد شده در اطراف پایه ها می باشد. شکست برخی از پل ها به علت فرسایش اطراف پایه هایشان اتفاق می افتد. فرسایش ممکن است در پایه ها یا سواحل رودخانه اتفاق بیافتد. این فرسایش در مرحله بعد می تواند منجر به تغییر کلی مسیر جريان شود.

امروزه اساس تئوری طراحی سازه ای پل ها فوق العاده پیشرفت کرده است اما جهت برآورد عمق فرسایش اطراف پایه ها هنوز جای تحقیق باز است که این اصولاً به سبب طبیعت پیچیده مسئله فرسایش است، با این حال اکثر روش های برآورد عمق فرسایش اطراف پایه ها مبتنی بر داده های آزمایشگاهی است.

اهمیت بررسی موضوع آب شستگی پایه های پل با ذکر این مطلب روشن می شود که بدانیم میلیونها پل در سطح جهان وجود دارد که بیش از هزاران عدد از این پلها در کشور ما وجود دارند و بیش از ۴۸۰۰۰ پل فقط در ایالات متحده قرار دارد. به دلیل سیالابهای سالانه آب شستگی در اطراف پایه های این پلها اجتناب ناپذیر است و احتمال تخریب آنها در صورتیکه برای محافظت از آنها طرحی اندیشیده نشده باشد حتمی است. این مطلب وقتی بحرانی ترمی شود که بدانیم پلها درست زمانی تخریب می شوند (به عنوان مثال در موقع سیالابی) که ما بیشترین احتیاج را به راههای دسترسی جهت کمک به آسیب دیدگان از بلایای طبیعی داریم بنابر این دیده می شود که به غیر از مسئله اقتصادی، مسئله پلها در برابر آبشنستگی یک موضوع انسانی است. شاید به همین دلیل، این مسئله بعد از جنگ جهانی دوم بیش از پیش مورد توجه محققین قرار گرفته است به غیر از چند تحقیق مختصر که قبل از این دوره روی آبشنستگی و روش‌های محافظت در برابر آن انجام شد، با پیشرفت علوم اوج تحقیقات در این زمینه طی ۲۵ سال اخیر بوده است.